

N.Zavaljevski, Lj.Kostić, M.Milošević, M.Pesić

INSTITUT "BORIS KIDRIĆ", VINČA

OOUR Institut za nuklearnu energetiku i tehničku fiziku NET

**ODREĐIVANJE KINETIČKIH PARAMETARA REAKTORA RB
STATISTIČKIM METODAMA**

**THE DETERMINATION OF RB REACTOR KINETIC PARAMETERS
BY STATISTICAL METHODS**

SADRŽAJ Prikazani su rezultati merenja kinetičkih parametara reaktora RB statističkim metodama. Cilj je osavremenjivanje metoda statističke obrade fluktuacija neutronске populacije u nuklearnom reaktoru radi daljeg razvoja metoda pogodnih za statistička merenja na energetskim nuklearnim reaktorima.

ABSTRACT The results of RB kinetic parameters measurements by statistical methods are presented. The purpose is the updating of statistical analysis methods of neutron population in nuclear reactor having in mind further development of methods convenient for power reactor statistical measurements.

1.UVOD

Potencijalne mogućnosti primene u dijagnostici energetskih nuklearnih reaktora uslovljavaju stalni razvoj i primenu statističkih metoda (videti SMORN V [1]). Imajući to u vidu, rešili smo da obnovimo statističke metode u reaktorskim merenjima, radjene intenzivno na reaktoru RB sedamdesetih godina[2]. Metode su osavremenjene zahvaljujući nabavci nove opreme za reaktorska merenja, a posebno je usavršena obrada podataka, posto je eksperimentalna oprema povezana sa računaram VAX 8250.

Merenje statističkih fluktuacija u nuklearnom reaktoru vrši se pomoću impulsnog detektora ili ionizacione komore[3]. Ranija merenja na reaktoru RB vršena su pomoću ionizacione komore[2]. Čija niska osetljivost je dovela do znatnijeg odstupanja merenih od proračunatih vrednosti na kritičnom nivou i onemogućila potkritična merenja. Posto sada raspolaćemo vrlo efikasnim impulsnim detektorima, realizovali smo merenja statističkih

fluktuacija njihovog odziva. Kinetičke parametre reaktora odredili smo iz autokorelacione funkcije i odnosa varijanse i srednje vrednosti merenog broja impulsa (Feynmanova metoda). Osnovni kinetički parametar koji se direktno određuje ovim metodama je konstanta slabljenja promptnih neutrona [4], a zatim se jednostavnim linearnim relacijama nalaze i ostali kinetički parametri.

2. TEORIJSKE OSNOVE

2.1. Autokorelaciona funkcija

Autokorelaciona funkcija neutronskog suma $R(\tau)$ je za merenu sekvencu broja impulsa neutronskog detektoru $\langle x_n \rangle$, $n=1,2,\dots,N$ u vremenu Δt definisana relacijom

$$R(k\Delta t) = \frac{1}{N-k} \sum_{n=1}^N x_n x_{n+k} \quad k=0,1,2,\dots,m \quad (2.1)$$

gde je Δt -širina kanala analizatora, x_n - broj detektovanih neutrona u n -tom kanalu, m - maksimalni pomak određivanja autokorelacione funkcije, N -broj kanala analizatora.

Autokorelaciona funkcija $R(\tau)$ i funkcija spektralne gustine snage povezane su Wiener-Khintchine-ovom formulom [3]

$$R(\tau) = \frac{1}{2\pi} \int_0^\infty P(\omega) \cos(\omega\tau) d\omega \quad (2.2)$$

Za reaktor na niskoj snazi Bennet [5] je pokazao da važi

$$P(\omega) = \frac{2}{C} B(\omega) [r - \rho D_\nu A^2(\omega)] \quad (2.3)$$

gde je C -srednja brzina detekcije, $B(\omega)$ -frekventni odziv sistema detekcije (normalizovan na 1 na niskim učestanostima), $A^2(\omega) = |G(i\omega)|^2$ -kvadrat amplitude prenosne funkcije reaktora nulte snage, $r=q^2/(q)^2$ pri čemu je q -naelektrisanje koje proizvede apsorpcija jednog neutrona u detektoru, ρ -efikasnost detektora, D_ν -Divenov faktor [3].

Ako se usvoji prostorno nezavisni kinetički model reaktora (opravdan za reaktor RB), prenosna funkcija ima oblik

$$G(s) = \frac{1 - s \sum_j \frac{\beta_j}{\lambda_j + s}}{s \left[\Lambda + \sum_j \frac{\beta_j}{\lambda_j + s} \right] - \rho} = \sum_j \frac{A_j}{a_j + s} \quad (2.4)$$

gde je Λ - vreme trajanja promptnih neutrona, ρ -reaktivnost, β_j i λ_j - frakcije i konstante raspada zakasnjenih neutrona, A_j i a_j su reziduumi i polovi prenosne funkcije reaktora nulte snage.

Tako autokorelaciona funkcija koja se dobija merenjem u sistemu detekcije sa idealno ravnom frekventnim odzivom ima oblik:

$$R(\tau) = \frac{p}{C} \delta(\tau) + \alpha D_1 \sum_{j=1}^{n+1} A_j G(x_j) \exp(-\alpha_j \tau) \quad (2.5)$$

Prvi član je sum detekcije, a suma predstavlja ukupan uticaj promptnih ($j=1$) i zakasnih neutrona (n grupa).

2.2. Odnos varijanse i srednje vrednosti

Albrecht [6] je pokazao da za odnos varijanse i srednje vrednosti merenog broja impulsa neutronskog detektora u vremenu τ važi relacija

$$\frac{\bar{V}}{m} = \frac{c^2 - \bar{c}^2}{\bar{c}} (\tau) = 1 + 2\alpha D_1 \sum_{i=1}^{n+1} \frac{A_i B_i}{\alpha_i} \left(1 - \frac{1-e^{-\alpha_i \tau}}{\alpha_i \tau}\right) \quad (2.6)$$

gdje je B_i izraženo u funkciji reziduuma A_i i polova α_i prenosne funkcije (2.3)

$$B_i = \sum_{j=1}^{n+1} \frac{A_j}{\alpha_j + \alpha_i} \quad (2.7)$$

Ostale označke su definisane prethodno, a $i=1$ odgovara promptnim neutronima. Ovu relaciju je, bez uračunavanja zakasnih neutrona, prvi dobio Feynman, te otuda ime metodi za određivanje konstante α iz relacije (2.6).

2.3. Određivanje kinetičkih parametara

Određivanjem autokorelacione funkcije iz eksperimentalnih rezultata može se, fitovanjem na oblik (2.4) odrediti konstanta slabljenja promptnih neutrona, ukoliko se autokorelaciona funkcija računa za vremena u kojima su promptni neutroni dominantni (do 100 msec). Relacija (2.6) za odnos varijanse i srednje vrednosti može se upotrebiti u istom cilju, ako se meri do 100 msec. Za duže vremena merenja može se uračunati uticaj zakasnih neutrona fitovanjem na više članova iz sume (2.6).

Merenja se vrše na više potkritičnih nivoa i ekstrapolacijom se određuje α_c , konstanta slabljenja promptnih neutrona na kritičnom nivou. Odatle je vreme trajanja promptnih neutrona

$$\Lambda = \frac{\beta_{eff}}{\alpha_c} \quad (2.8)$$

a potkritična reaktivnost se određuje iz relacije

$$\alpha = \alpha_c \left(1 - \frac{\beta_{eff}}{\Lambda}\right) \quad (2.9)$$

Za goli homogeni reaktor važi relacija

$$\rho = 1 - \frac{1}{k} = 1 - \frac{1 + M^2 B^2 + M^2}{\frac{\pi^2}{h^2}} \quad (2.10)$$

te je ρ linearna funkcija od $1/h^2$, a kako je oko kritičnosti $\delta h \ll h_c$, relacija je približno linearna i po Δh .

3. POSTUPAK MERENJA

Konfiguracija reaktora RB sa 52 gorivna elementa od 2% obogadenog urana koraka rešetke 8.2 cm izabrana je za merenje da bi se izbegli prostorno zavisni efekti fluktuacije neutronске populacije.

Efikasnost prikazanih statističkih metoda zavisi najviše od osetljivosti detektora (posebno u slučaju Fejnmanove metode) te smo izabrali najefikasniji detektor kojim raspolažemo i postavili ga u područje visokog neutronskog fluksa. Za postizanje stacionarnog stanja na potkritičnom nivou korišćen je Am- α -Be neutronski izvor, zbog malog γ -fona. Merna instrumentacija prikazana je na slici 1. Snimanje statističkih fluktuacija se vrši višekanalnim analizatorom sa 8K kanala memorije i podaci se prebacuju u VAX 8250. Širina kanala analizatora je 5 msec i izabrana je kao kompromis između potreba za tačnošću određivanja autokorelacione funkcije i dovoljnog broja impulsa za smanjenje statističke greške merenja (sredji broj impulsa je mali zbog slabog intenziteta Am- α -Be izvora). Zadovoljavajuća statistička tačnost postignuta je ponavljanjem merenja na svakom nivou teške vode 15-20 puta. Merenja su vršena na nivoima teške vode od 115-121 cm sa korakom od 1cm. Kritičan nivo je 122.17cm. Merenja na kritičnom nivou nisu vršena zbog zagušenja proporcionalnog brojača usled velikog broja impulsa. Inače, Fejnmanova metoda teorijski divergira na kritičnim nivou [3].

4. OBRADA EKSPERIMENTALNIH REZULTATA

4.1. Autokorelacione funkcije

Određivanje autokorelacione funkcije i iz nje konstante slabljenja promptnih neutrona vrši se programskim paketom AUTOCOR. Autokorelaciona funkcija se određuje bilo direktno, bilo pomoću brze Furijeove transformacije (FFT) [7]. Logaritam autokorelacione funkcije se srušuje na pravu liniju i odatle se dobija konstanta slabljenja promptnih neutrona. Fitovanje se vrši za vremena do

0.1sec. Uticaj zakasnih neutrona računski je korigovan pomoću relacije (2.6), ali je on u ovim intervalima mali (do 3%). Primeri autokorelačnih funkcija za nekoliko nivoa teške vode prikazani su na slici 2. Konstante slabljenja promptnih neutrona odredjene eksperimentalno (iz autokorelačne funkcije) i računski (program VESNA DEI i GALER [9]) date su na slici 3. Ekstrapolisana vrednost konstante slabljenja na kritičnom nivou je 12.50 ± 1.5 sec $^{-1}$.

4.2. Fitovanja metoda

Isti osnovni eksperimentalni podaci korišćeni su i za proračun odnosa varijanse i srednje vrednosti. Merenje je vršeno za $t = 0.1$ sec, a sabiranjem impulsa u k sekvensivnih kanala dobijaju su podaci za $\tau_k = k\tau$. Na taj način se vreme merenja znatno smanjuje u odnosu na klasičan postupak u kome se merenja za nova vremena ponavljaju. Zavisnost V/m za tri karakteristične visine teške vode data je na slici 4. Za svaki potkritičan nivo vrši se nelinearno fitovanje (metoda Levenberg-Marquardta [10]) na oblik (2.6). Sa približavanjem kritičnosti uticaj zakasnih neutrona raste, te se pri fitovanju mora uzeti u obzir. Ovde su svi zakasni neutroni tretirani kao jedna ekvivalentna grupa, pošto iz numeričkih razloga nije moguće odrediti konstante slabljenja zakasnih neutrona koje su mnogo manje od promptnih. U sledećoj tabeli su prikazane razlike u konstantama slabljenja promptnih neutrona sa i bez uračunavanja zakasnih neutrona.

Tabela 1: Eksperimentalne i teorijske vrednosti konstante slabljenja promptnih neutrona

h_{D_2O} (cm)	fitovanje		proračun
	samo promptni	+ 1 gr zakasn.	
115	$35.77 \pm 1.07^*$	38.22 ± 0.79	41.89
116	30.53 ± 0.89	31.45 ± 0.66	37.75
117	29.27 ± 0.86	30.01 ± 0.64	33.62
118	24.01 ± 0.76	25.19 ± 0.44	29.57
119	21.02 ± 0.57	23.49 ± 0.43	25.63
120	17.29 ± 0.50	18.33 ± 0.38	21.78
121	14.53 ± 0.45	15.74 ± 0.29	18.02

* Ovo nisu greske merenja, vec samo procene standardne devijacije fitovanih parametara koje daje nelinearni metod najmanjih kvadrata.

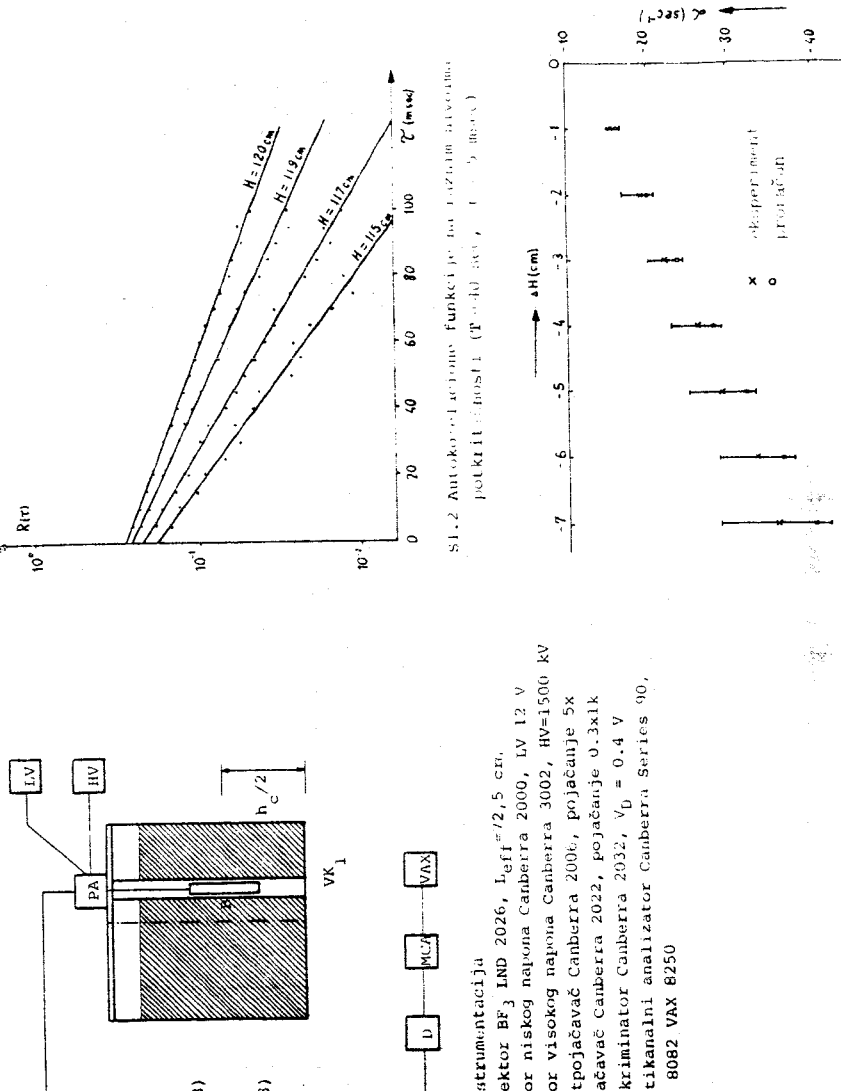
Vrednosti sa uracunavanjem promptnih neutrona su blize teorijskim, a razlike izmedju eksperimenta i proračuna su manje od 15%. Zavisnost konstante slabljenja promptnih neutrona od $1/h^2$ prikazana je na slici 5. Ekstrapolacijom na kriticani nivo dobija se $a_c = 11.85 \pm 0.46$ sec $^{-1}$.

5. ZAKLJUČAK

Prikazani rezultati pokazuju da je dobijeno zadovoljavajuće slaganje merenih i proračunatih kinetičkih parametara reaktora RB. Uticaj zakasnjenih neutrona je uspešno eliminisan računskim korekcijama. Tako je pokazano da su ove metode pogodne za rutinsko određivanje kinetičkih parametara različitih konfiguracija reaktora RB, pod pretpostavkom važenja prostorno nezavisnog kinetičkog modela. Takođe je na ovom primeru verifikovan postupak proračuna kinetičkih parametara nuklearnog reaktora. U daljem radu planiramo razvoj metoda merenja za prostorno zavisani model kinetike nuklearnih reaktora i implementaciju novih metoda statističke obrade podataka, pogodnih za primenu u energetskim nuklearnim reaktorima. Iskustvo stekeno ovim merenjima poslužiće kao osnova za rešavanje složenijih problema.

REFERENCE

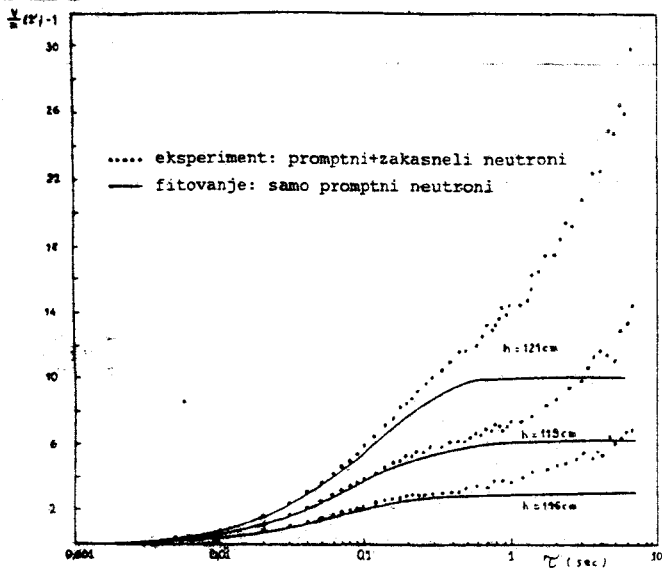
- [1] Proceedings of SMORN V, Munchen, 1987
- [2] "Kinetics and Noise Analysis of Zero Power Reactors: An NPY Project Report", Tech. Rep. Series No 138, IAEA, Vienna, 1972
- [3] R.Uhrig: "Statistical Methods in Nuclear Reactor Physics" (prevod na ruski), Moskva, Atomizdat, 1974
- [4] R.G.Keepin: "Physics of Nuclear Reactor Kinetics", Addison-Wesley, Reading, Massachusetts, 1965
- [5] E.F.Bennet: "The Rice Formulation of Pile Noise", Nucl.Sci.Engng., 8, 53, 1960
- [6] R.W.Albrecht: "The Measurement of Dynamic Nuclear Reactor Parameters Using the Variance of Number of Neutrons Detected", Nucl.Sci.Engng., 14, 153, 1962
- [7] J.S.Bendat,A.G.Piersol: "Random Data Analysis and Measurements Procedures", John Wiley, New York, 1971
- [8] M.Milošević: "VESNA-program za proračun grupnih konstanti termičkih nuklearnih reaktora", Biblioteka programa OOVR NET
- [9] M.Milošević: "GALER-program za dvodimenzionalni difuzioni proračun nuklearnih reaktora", Biblioteka programa OOVR NET
- [10] W.H.Press et al: "Numerical Recipes", Cambridge University Press, 1986



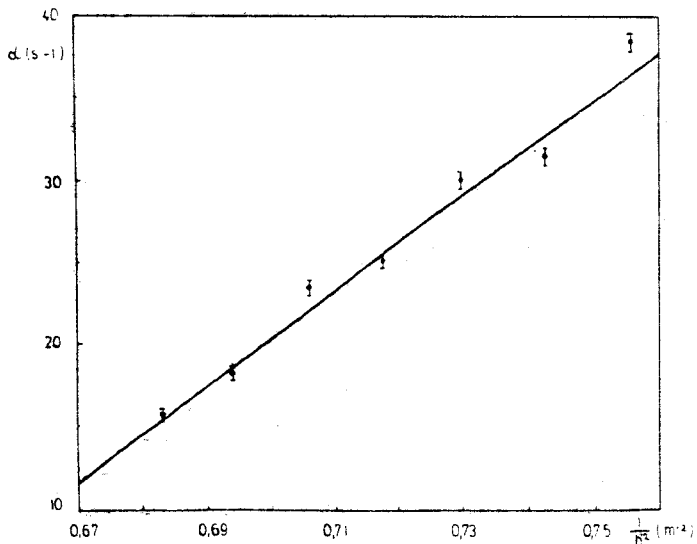
S1.1. Merna instrumentacija

- B - detektor BF₃ LND 2026, Left = 22,5 cm,
- LV - izvor niskog napona Canberra 2000, LV 12 V
- HV - izvor visokog napona Canberra 3002, HV=1500 kV
- PA - pretvarač Canberra 200t, pojačanje 5x
- A - pojačavač Canberra 2022, pojačanje 0,3x1k
- D - diskriminator Canberra 2032, $V_0 = 0,4$ V
- MCA - multikanalni analizator Canberra Series 90, MCS 8082 VAX 6250

IX.54



Sl.4. Zavisnost V/m od vremena merenja



Sl.5. Zavisnost konstante slabljenja promptnih neutrona od visine teške vode (Fejnmanna metoda)